

12,03

## Тонкая структура электрон-дырочных комплексов в тригональных квантовых точках

© М.В. Дурнев

Физико-технический институт им. А.Ф. Иоффе РАН,  
Санкт-Петербург, Россия

E-mail: durnev@mail.ioffe.ru

(Поступила в Редакцию 24 декабря 2014 г.)

Представлена теория эффекта Зеемана и тонкой структуры энергетического спектра электрон-дырочных комплексов в высокосимметричных квантовых точках, выращенных вдоль направления  $[111]$  из материалов с решеткой цинковой обманки. В исследуемых квантовых точках, обладающих точечной симметрией  $C_{3v}$ , эффект Зеемана для тяжелой дырки в магнитном поле  $\mathbf{B} \parallel [111]$  имеет необычный вид: помимо диагональной компоненты ( $g_{h1}$ ), эффективный тензор  $g$ -факторов содержит и недиагональный элемент ( $g_{h2}$ ). Наличие  $g_{h2} \neq 0$  приводит к магнитоиндуцированному смешиванию состояний тяжелой дырки, которое позволяет объяснить две дополнительные линии, наблюдаемые в экспериментальных спектрах фотолюминесценции экситонов и трионов. Обсуждается микроскопическая теория эффективных  $g$ -факторов  $g_{h1}$  и  $g_{h2}$  в рамках гамильтониана Латтинжера в сферическом приближении, а также дополнительные вклады в  $g_{h2}$ , связанные с гофрировкой спектра дырок. Приводится сравнение результатов теоретических расчетов  $g_{h1}$  и  $g_{h2}$  для точек на основе GaAs с данными экспериментов.

Работа выполнена при поддержке гранта Российского научного фонда 14-12-01067 и фонда „Династия“.

### 1. Введение

Полупроводниковые квантовые точки являются в последнее время объектом активных исследований в связи с их возможным использованием в приборах квантовой оптики и спинтроники [1,2]. В частности, одно из применений — это генерация поляризационно-запутанных пар фотонов, излучаемых в процессе рекомбинации биэкситонного каскада [3,4]. Большинство систем на основе самоорганизующихся квантовых точек выращиваются вдоль кристаллографического направления  $[001]$  и характеризуются эллиптической или прямоугольной формой основания точки. Такая асимметричная форма описывается точечной группой симметрии  $C_{2v}$  и приводит к анизотропному расщеплению радиационного дублета экситона (см., например, [5,6]), разрушающему квантовомеханическую запутанность пар фотонов, генерируемых в процессе релаксации каскада.

Альтернативным экспериментальным подходом к генерации поляризационно-запутанных пар фотонов является использование образцов с квантовыми точками на основе арсенидов третьей группы, выращенных вдоль оси  $[111]$  (так называемые тригональные точки). Преимуществом структур, выращенных вдоль этой оси, является реализация микроскопически идентичных интерфейсов, что приводит к формированию системы, характеризующейся точечной группой симметрии  $C_{3v}$ . В отличие от структур с симметрией  $C_{2v}$  в таких квантовых точках расщепление анизотропного дублета запрещено [7,8]. В ряде работ наблюдалось очень малое ( $\lesssim 10 \mu\text{eV}$ ) анизотропное расщепление в квантовых точках  $[111]$  непосредственно после роста (без дополнительной об-

работки) [9–12], а также генерация пар запутанных фотонов [13,14].

В последнее время в корреляционных измерениях одиночных фотонов стали использоваться каскады, в исходном состоянии которых находится заряженный или возбужденный биэкситон [15–17]. Промежуточные электрон-дырочные комплексы, которые возникают в процессе релаксации такого каскада — так называемые „горячие“ (или возбужденные) экситоны и трионы — интересны тем, что носители заряда (электрон или дырка) занимают в них возбужденные состояния  $P$ -симметрии. „Горячие“ экситоны и трионы, а также электрон-дырочные комплексы с высоким суммарным зарядом активно исследуются в последние годы в квантовых точках на основе InAs и GaAs, выращенных вдоль направления  $[001]$  [18–21]. Многократно заряженные электрон-дырочные комплексы, а также возбужденные состояния отрицательно заряженных трионов экспериментально наблюдались в тригональных квантовых точках GaAs/AlGaAs, выращенных вдоль оси  $[111]$ , в работе [22].

Основная сложность, возникающая при анализе спектров фотолюминесценции (ФЛ) одиночной квантовой точки, заключается в идентификации наблюдаемых в эксперименте линий. В связи с этим эффективным методом, позволяющим детально исследовать тонкую структуру электрон-дырочных комплексов, является анализ зеемановского расщепления спектральных линий ФЛ во внешнем магнитном поле. Влияние магнитного поля на спектры излучения электрон-дырочных комплексов в высокосимметричных точках, выращенных вдоль направления  $[111]$ , оказывается существенно иным в сравнении с точками  $[001]$ , обладающими более низкой симметрией.

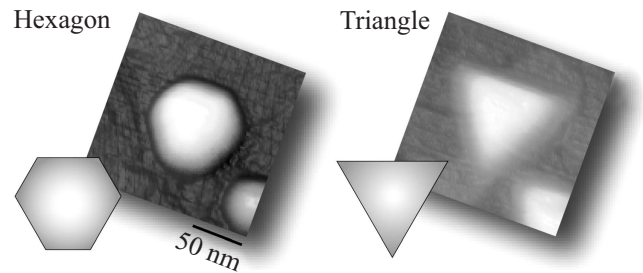
В частности, направленное вдоль оси роста магнитное поле приводит к смешиванию состояний тяжелой дырки с противоположными проекциями углового момента на эту ось, что позволяет наблюдать дополнительные линии в спектрах ФЛ экситонов и трионов [10,23].

В настоящей работе представлена теория эффекта Зеемана и тонкой структуры энергетического спектра электрон-дырочных комплексов в тригональных квантовых точках. В разделе 2 приводится краткое описание параметров тригональных квантовых точек, исследуемых в эксперименте, а также особенностей спектров ФЛ одиночной точки в магнитном поле. Раздел 3 посвящен симметричному анализу дырочного эффекта Зеемана в квантовых точках, обладающих точечной симметрией  $C_{3v}$ , а также описанию особенностей тонкой структуры энергетического спектра экситонов и трионов. В частности, высокая симметрия точечной группы  $C_{3v}$  приводит к тому, что эффект Зеемана для тяжелой дырки в магнитном поле  $\mathbf{B} \parallel [111]$  описывается тензором эффективных  $g$ -факторов, содержащим как диагональную, так и недиагональную компоненты. В разделе 4 представлена микроскопическая теория тензора  $g$ -факторов тяжелой дырки, основанная на сферическом приближении гамильтониана Латтинжера; в разделе 5 обсуждаются вклады в константу смешивания тяжелых дырок, связанные с гофрировкой валентной зоны. В разделе 6 приводится сравнение результатов теоретических расчетов эффективных  $g$ -факторов тяжелой дырки с экспериментальными данными. Основные результаты теоретических исследований тонкой структуры электрон-дырочных комплексов в тригональных квантовых точках, а также дальнейшие направления развития этой области обсуждаются в разделе 7.

## 2. Квантовые точки, выращенные вдоль направления [111]

Представленная в статье теория мотивирована необычными экспериментальными данными по магнитофлуоресценции квантовых точек, выращенных вдоль направления [111]. Ниже дано краткое описание исследуемых в эксперименте образцов и полученных спектров ФЛ одиночных точек в магнитном поле.

Экспериментально исследуемые образцы выращены методом капельной эпитаксии с использованием стандартной молекулярно-пучковой установки [9,24,25] на подложке GaAs(111)A с преобладанием атомов Ga на поверхности. Точки из GaAs помещены между двумя барьерными слоями из  $Al_{0.3}Ga_{0.7}As$  толщиной 100 и 50 nm соответственно, — такой выбор материалов позволяет избежать в этой структуре упругих напряжений [26]. Отметим также, что исследуемые точки высотой  $\approx 3$  nm и линейным размером в плоскости  $\approx 15$  nm выращены без смачивающего слоя (см. [9]). Изображения точек, полученные методами

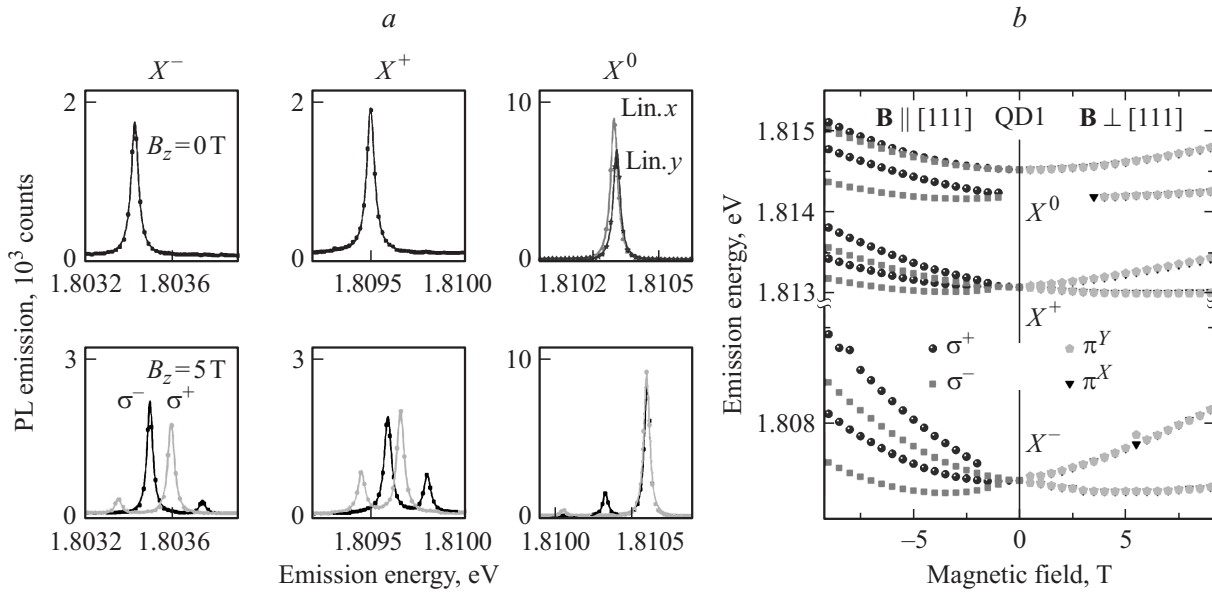


**Рис. 1.** Изображения квантовых точек GaAs, выращенных на подложке (111)A, полученные методом атомной силовой микроскопии, демонстрируют тригональную симметрию точек ( $C_{3v}$ ). В зависимости от температуры роста форма основания точек варьируется от неправильного шестиугольника до правильного треугольника. Данные работы [9].

атомно-силовой микроскопии (рис. 1), свидетельствуют о тригональной симметрии  $C_{3v}$  основания квантовой точки.

На рис. 2 представлены спектры фотолуминесценции (ФЛ) одиночной квантовой точки QD1 (здесь и далее используется нумерация точек из работ [10,23]). Основные линии в излучении в нулевом магнитном поле связаны с тремя экситонными комплексами: нейтральным экситоном  $X^0$ , отрицательно заряженным трионом  $X^-$ , состоящим из двух электронов в синглетном состоянии и одной дырки, и положительно заряженным трионом  $X^+$  (один электрон и две дырки в синглете). Высокая симметрия точек [111] подтверждается малыми значениями расщепления линии  $X^0$  в двух линейных поляризациях ( $\delta_1$  порядка нескольких  $\mu\text{eV}$  [9]). Тригональная симметрия точек приводит к необычным эффектам, проявляющимся в спектрах ФЛ в продольном магнитном поле  $\mathbf{B} \parallel [111]$ . При приложении магнитного поля вдоль оси роста [111] (геометрия Фарадея) в излучении всех трех экситонных комплексов наблюдается четыре линии: две из них активны в  $\sigma^+$  поляризации, а две другие — в  $\sigma^-$  поляризации. Этот результат контрастирует с экспериментальными данными по ФЛ в квантовых точках [001], которые в геометрии Фарадея демонстрируют только два оптически активных перехода в противоположных циркулярных поляризациях [27,28]. На рис. 2, b (правая панель) представлены положения линий в спектрах точки QD1 в поперечном магнитном поле ( $\mathbf{B} \parallel x \parallel [11\bar{2}]$ ): видно, что в спектрах  $X^+$  и  $X^-$  наблюдаются две линии, а не четыре, как это имеет место в точках с ориентацией [001] [27,28].

В следующем разделе будет показано, что описанное выше необычное поведение спектров магнитолюминесценции обусловлено тригональной симметрией точек, характеризующейся точечной группой  $C_{3v}$ . В группе  $C_{3v}$  состояния тяжелой дырки смешиваются продольным магнитным полем ( $\mathbf{B} \parallel [111]$ ), в то время как поперечный эффект Зеемана ( $\mathbf{B} \perp [111]$ ) для этих состояний отсутствует.



**Рис. 2.** Спектры ФЛ одиночной квантовой точки QD1 в магнитном поле. (a) Спектры излучения нейтрального экситона  $X^0$  и трионов  $X^\pm$ . (b) Экспериментально измеренные энергии оптических переходов в комплексах  $X^0$ ,  $X^+$  и  $X^-$  в зависимости от магнитного поля, приложенного в геометрии Фарадея ( $\mathbf{B} \parallel [111]$ , левая панель) и геометрии Фойхта ( $\mathbf{B} \perp [111]$ , правая панель). Из работ [10,23].

### 3. Симметричный анализ

Общий анализ наноразмерных структур с кристаллической решеткой цинковой обманки, выращенных вдоль направления  $[111]$ , позволяет сделать вывод, что они имеют тригональную симметрию точечной группы  $C_{3v}$ . В дальнейшем будет использована система координат с осями  $x \parallel [11\bar{2}]$ ,  $y \parallel [\bar{1}10]$  и  $z \parallel [111]$ . Точечная группа симметрии  $C_{3v}$  включает в себя следующие элементы: единичный элемент  $E$ , поворот на  $120^\circ$  вокруг оси третьего порядка  $C_3$ , поворот  $C_3^2$  на  $240^\circ$  и три отражения в плоскостях, содержащих ось вращения. Перечень неприводимых представлений группы  $C_{3v}$  и соответствующие базисные функции представлены в книге [29]. В согласии с [29] фазы базисных функций тяжелой дырки  $|3/2\rangle$ ,  $|-3/2\rangle$  выбраны, как у функций  $-\uparrow(x + iy)$  и  $\downarrow(x - iy)$ , где  $\uparrow, \downarrow$  — спиноры, отвечающие  $s_z = \pm 1/2$ .

Точечная симметрия  $C_{2v}$  квантовых точек, выращенных вдоль направления  $[001]$ , запрещает смешивание тяжелых дырок с проекциями углового момента  $|\pm 3/2\rangle$  продольным магнитным полем  $\mathbf{B} \parallel [001]$ . Действительно, в двойной группе  $C_{2v}$  эти два состояния формируют базис неприводимого спинорного представления  $\Gamma_5$ , в то время как компонента магнитного поля  $B_z$  преобразуется по представлению  $\Gamma_3$ . Прямое произведение  $\Gamma_5^* \times \Gamma_5$  разбивается на сумму четырех неприводимых представлений  $\Gamma_1 + \Gamma_2 + \Gamma_3 + \Gamma_4$ , которая содержит  $\Gamma_3$  только один раз. Действие магнитного поля, таким образом, сводится к зеемановскому расщеплению пары  $|\pm 3/2\rangle$  без смешивания состояний. Напротив, в точечной группе  $C_{3v}$  состояния  $|\pm 3/2\rangle$  образуют приводимое представление, которое является прямой суммой двух

неприводимых представлений  $\Gamma_5$  и  $\Gamma_6$ , в то время как  $z$ -компонента магнитного поля преобразуется по представлению  $\Gamma_2$ . Прямое произведение представлений

$$(\Gamma_5 + \Gamma_6) \times (\Gamma_5^* + \Gamma_6^*) = 2\Gamma_1 + 2\Gamma_2 \quad (1)$$

содержит представление  $\Gamma_2$  два раза, следовательно существует два независимых параметра, описывающие эффект продольного поля на состояния  $|\pm 3/2\rangle$  [10]. Иначе говоря, из компоненты  $B_z$  и компонент псевдовектора матриц момента  $3/2$  в каноническом базисе  $\mathbf{J} = (J_x, J_y, J_z)$  можно составить два инварианта. Первый из них  $(J_z B_z)$  представляет собой стандартное зеемановское расщепление, в то время как второй инвариант  $B_z(J_x^3 - 3\{J_x J_y^2\}_s)$  имеет ненулевой матричный элемент между состояниями  $|3/2\rangle$  и  $|-3/2\rangle$ . Наличие такого дополнительного инварианта приводит к тому, что эффект Зеемана для тяжелой дырки описывается в базисе  $|3/2\rangle, |-3/2\rangle$  матрицей  $2 \times 2$ , содержащей как диагональные, так и недиагональные элементы

$$\mathcal{H}_B = \frac{1}{2} \mu_B B_z \begin{bmatrix} g_{h1} & g_{h2} \\ g_{h2} & -g_{h1} \end{bmatrix} = \frac{1}{2} \mu_B B_z (g_{h1} \sigma_z + g_{h2} \sigma_x). \quad (2)$$

Здесь  $\mu_B$  — магнетон Бора,  $\sigma_z$  и  $\sigma_x$  — матрицы Паули, а вещественные параметры  $g_{h1}$  и  $g_{h2}$  — эффективные  $g$ -факторы тяжелой дырки. Смешивание состояний тяжелой дырки продольным магнитным полем имеет место также в тригональных точечных группах  $D_3$  и  $D_{3d} = D_3 \times C_i$ . В группах с более низкой симметрией —  $C_3$  и  $S_6 = C_3 \times C_i$  — эффект также возможен, однако в отличие от эффекта Зеемана, описываемого выражени-

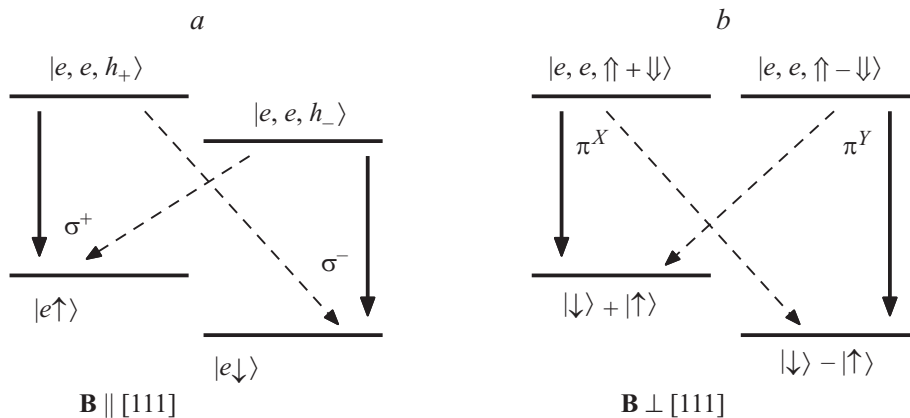


Рис. 3. Схема излучательной рекомбинации  $X^-$ -триона в геометрии Фарадея (а) и Фойхта (b).

ем (2), направление оси  $x$  в плоскости, перпендикулярной полю, не фиксировано. Во всех гексагональных группах, включая  $C_{3h}$  и  $D_{3h}$ , которые содержат в качестве элемента плоскость отражения ( $xy$ ), смешивание тяжелых дырок продольным полем запрещено, и  $g_{h2} \equiv 0$ . Как отмечалось ранее,  $g_{h2}$  равен нулю также в группах  $C_{2v}$  и  $D_{2d}$ . Подводя итог, смешивание тяжелых дырок продольным магнитным полем имеет место только в точках, геометрическая форма которых обладает осью вращения третьего порядка, а также не имеет зеркальной симметрии при отражении в плоскости, перпендикулярной этой оси.

В завершении рассмотрим эффект Зеемана в поперечном магнитном поле (приложенном в геометрии Фойхта,  $\mathbf{B} \perp [111]$ ). Прямое произведение (1) не содержит представления  $\Gamma_3$ , по которому преобразуются компоненты поля  $B_x$  и  $B_y$ , таким образом, симметрия  $C_{3v}$  запрещает смешивание состояний  $|\pm 3/2\rangle$  поперечным магнитным полем. Поперечный эффект Зеемана для тяжелой дырки отсутствует также в любой из 12 гексагональных и тригональных точечных групп. С другой стороны, смешивание поперечным полем возможно в группах  $C_{2v}$  и  $D_{2d}$ : расчет и измерения поперечного  $g$ -фактора тяжелой дырки в квантовых ямах  $[001]$  приведены в работе [30].

В разделах 3.1 и 3.2 будут обсуждаться особенности спектров оптических переходов в заряженных и нейтральных электрон-дырочных комплексах, обусловленные смешиванием тяжелых дырок, а в разделе 4 — микроскопическая теория эффективных  $g$ -факторов, входящих в (2).

3.1. Тонкая структура энергетического спектра трионов. Положительно ( $X^+$ ) и отрицательно ( $X^-$ ) заряженные трионы состоят из двух дырок (электронов) в синглетном состоянии и одного электрона (дырки) в основном состоянии. Схема излучательной рекомбинации  $X^-$  приведена для иллюстрации на рис. 3. Без магнитного поля состояния трионов двукратно вырождены по спине неспаренного носителя заряда, при приложении магнитного поля это вырождение

снимается. С учетом смешивания собственные энергии тяжелой дырки в продольном магнитном поле записываются в виде  $E_{\pm} = \pm g_h \mu_B B_z / 2$ , где  $g_h = \sqrt{g_{h1}^2 + g_{h2}^2}$ , а собственные состояния  $|h, \pm\rangle$  являются линейными комбинациями базисных функций  $|\pm 3/2\rangle$

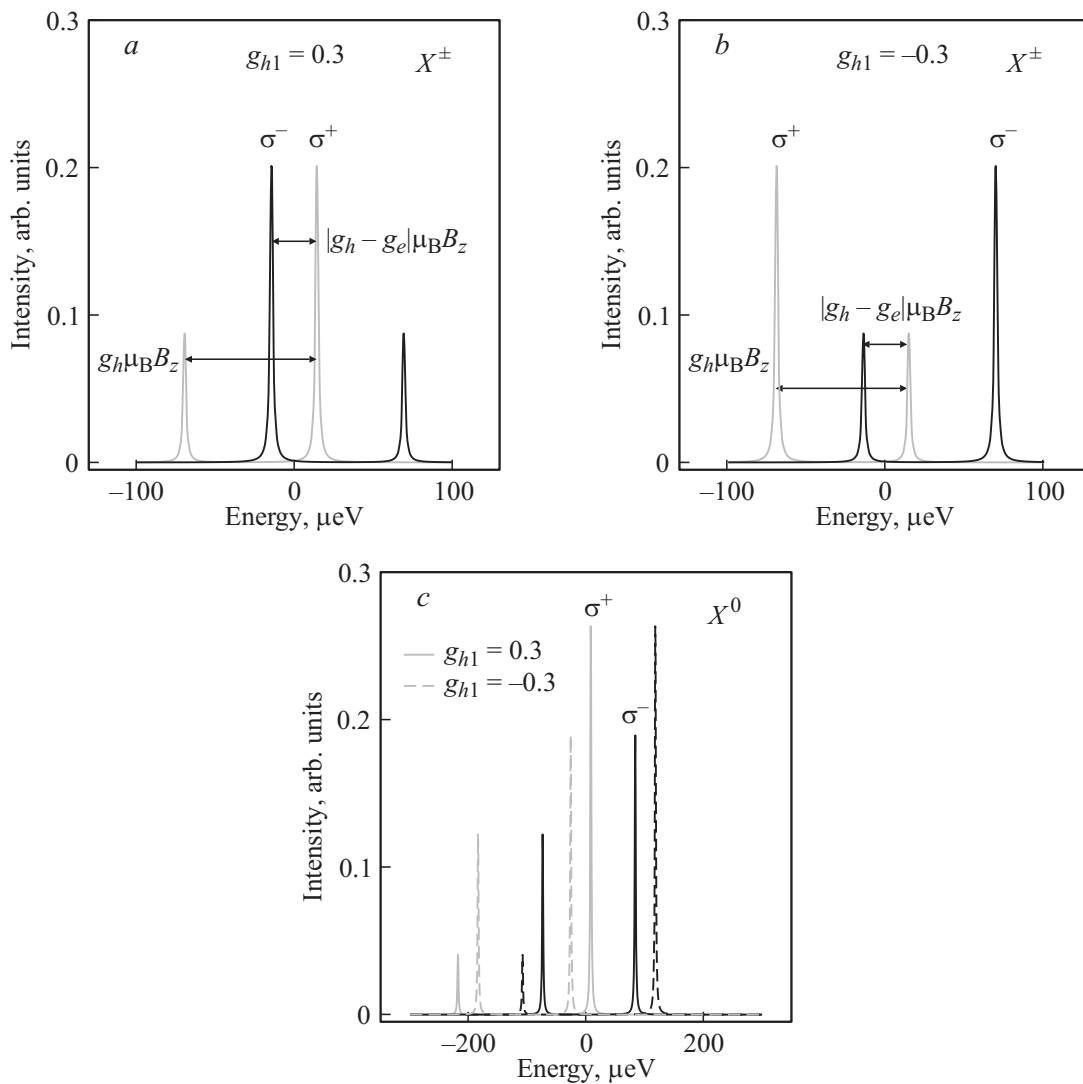
$$\begin{aligned} |h, +\rangle &= C_1 |3/2\rangle + C_2 | - 3/2\rangle, \\ |h, -\rangle &= -C_2 |3/2\rangle + C_1 | - 3/2\rangle \end{aligned} \quad (3)$$

с коэффициентами

$$\begin{aligned} C_1 &= \sqrt{\frac{1}{2} \left( 1 + \frac{g_{h1}}{\sqrt{g_{h1}^2 + g_{h2}^2}} \right)}, \\ C_2 &= \text{sign}(g_{h2}) \sqrt{\frac{1}{2} \left( 1 - \frac{g_{h1}}{\sqrt{g_{h1}^2 + g_{h2}^2}} \right)}. \end{aligned} \quad (4)$$

Ненулевые значения  $g_{h2}$  приводят к тому, что все четыре оптические перехода, изображенные на рис. 3, а, являются оптически активными. Условимся называть более интенсивные переходы „светлыми“, а менее интенсивные — „темными“. Энергии переходов, наряду с зеемановским вкладом, содержат общий для всех линий диамагнитный сдвиг (см. рис. 2. b), поэтому для определения  $g$ -факторов из эксперимента удобно анализировать разность энергий переходов. Расщепления между различными линиями в спектрах являются комбинациями электронных и дырочных вкладов, что позволяет извлечь пару параметров  $g_e$  ( $g$ -фактор электрона) и  $g_h = \sqrt{g_{h1}^2 + g_{h2}^2}$ . Интенсивности линий в циркулярных поляризациях пропорциональны  $C_1^2$  и  $C_2^2$  и в согласии с экспериментом [10] не зависят от магнитного поля. Из отношения интенсивностей переходов в одинаковых поляризациях

$$\eta \equiv \frac{I_1^{(\pm)}}{I_2^{(\pm)}} = \frac{C_2^2}{C_1^2} = \frac{g_h - g_{h1}}{g_h + g_{h1}}$$



**Рис. 4.** Роль знака  $g_{h1}$ . Рассчитанные спектры ФЛ трионов  $X^\pm$  в  $\sigma^+$  (серые линии) и  $\sigma^-$  (черные линии) поляризациях для  $g_{h1} = 0.3$  (a) и  $g_{h1} = -0.3$  (b). (c) То же для экситона  $X^0$ : сплошными линиями приведены расчеты для  $g_{h1} = 0.3$ , пунктирными — для  $g_{h1} = -0.3$ . Значения других параметров:  $g_e = 0.5$ ,  $g_{h2} = 0.7$ ,  $\delta_0 = 100 \mu\text{eV}$ ,  $B_z = 2 \text{ T}$ .

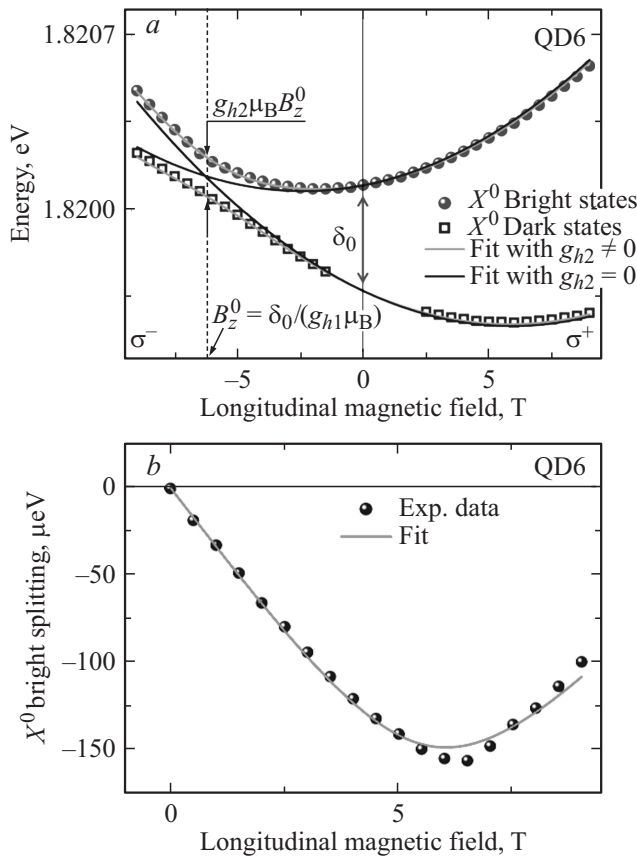
можно извлечь отношение  $g_{h1}/g_h$  следующим образом:

$$\frac{g_{h1}}{g_h} = \frac{1 - \eta}{1 + \eta}. \quad (5)$$

При определении параметра  $\eta$  нужно правильным образом выбирать линии  $I_1$  и  $I_2$ : при  $g_e > 0$  нужно брать отношение интенсивностей „внешней“ и „внутренней“ линий (в  $\sigma^-$  поляризации это линии с большей и меньшей энергиями соответственно), а при  $g_e < 0$  — наоборот. Знак  $g_{h1}$  определяется числителем дроби (5), при этом в случае  $g_e > 0$  можно выделить три возможных варианта: случай  $\eta < 1$  („внешние“ линии имеют меньшую интенсивность) соответствует  $g_{h1} > 0$ , случай  $\eta > 1$  („внешние“ линии имеют большую интенсивность) соответствует  $g_{h1} < 0$  и, наконец, случай  $\eta = 0$  (все линии имеют одинаковую интенсивность) соответствует  $g_{h1} = 0$ . Для иллюстрации на рис. 4, a, b

приведены рассчитанные спектры ФЛ комплексов  $X^\pm$  для двух противоположных значений диагонального  $g$ -фактора ( $g_{h1} = \pm 0.3$ ). Правила отбора при оптических переходах таковы, что относительные положения линий совпадают для обоих комплексов (см. также данные эксперимента, рис. 2, a). Сравнение экспериментальных спектров с теоретическими расчетами показывает, что  $g_{h1} > 0$  для всех исследуемых точек и комплексов (см. рис. 2, a для точки QD1). В завершение, используя значения  $g_{h1}$  и  $g_h$ , можно определить абсолютное значение  $g_{h2}$ .

**3.2. Тонкая структура нейтрального экситона.** В отличие от трионов при анализе энергий переходов и поляризационных свойств излучения нейтрального экситона  $X^0$  нужно учитывать тонкую структуру уровней комплекса в нулевом магнитном поле, связанную с электрон-дырочным обменным взаимодействием. В отсутствии магнитного поля состояния экситона с



**Рис. 5.** (а) Энергии переходов номинально темных (квадраты) и светлых (круги) состояний нейтрального экситона в зависимости от магнитного поля в геометрии Фарадея. Левые и правые панели отвечают оптическим переходам, активным в  $\sigma^-$ -поляризации ( $s_z = 1/2$ ) и  $\sigma^+$ -поляризации ( $s_z = -1/2$ ) соответственно, см. (6). Светлыми кривыми изображены результаты расчета по формуле (6) при  $\delta_0 = 422 \mu\text{eV}$ ,  $g_h = 1.16$ ,  $g_e = 0.49$ ,  $g_{h1} = 1.05$  и  $g_{h2} = 0.42$  с учетом диамагнитного сдвига обеих кривых  $E = E_0 + \alpha B_z^2$  с параметрами  $E_0 = 1.819676 \text{ eV}$  и  $\alpha = 4.15 \mu\text{eV/T}^2$ . Темная кривая рассчитана для тех же параметров, но при  $g_{h2} = 0$ . (б) Зеемановское расщепление светлого экситона как функция магнитного поля. Сплошная кривая — подгонка формулой (6). Данные работы [23].

проекциями спинового момента  $m_z = \pm 1$  отщеплены от состояний с  $m_z = \pm 2$  на энергию  $\delta_0$ .<sup>1</sup> Магнитное поле за счет  $g_{h2} \neq 0$  смешивает светлые и темные экситонные состояния, энергии которых описываются формулой [10]

$$E_{s_z, \tilde{j}} = s_z g_e \mu_B B_z + \frac{1}{2} (\delta_0 + \tilde{j} \delta_{s_z}),$$

$$\delta_{s_z} = \sqrt{\delta_0^2 + (g_h \mu_B B_z)^2 - 4 s_z g_{h1} \mu_B B_z \delta_0}. \quad (6)$$

Здесь  $\tilde{j} = \pm 1$  нумерует спиновые состояния тяжелой дырки,  $s_z = \pm 1/2$  —  $z$ -компонента спина электрона

<sup>1</sup> Анизотропное обменное взаимодействие может смешивать светлые и темные состояния экситона уже в нулевом магнитном поле. Однако в экспериментах это смешивание не проявляется, что позволяет сделать вывод о его малости и пренебречь им.

и  $\delta_0 > 0$ . Оптически активными являются все четыре состояния, однако при  $B_z \lesssim \delta_0 / (g_h \mu_B)$  интенсивность пары линий с  $s_z = -1/2$ ,  $\tilde{j} = 1$  и  $s_z = 1/2$ ,  $\tilde{j} = -1$  значительно превышает интенсивность другой пары, которая в этом диапазоне полей не разрешается в эксперименте [23]. Из уравнения (6) следует, что расщепление светлых состояний экситона  $E_{+1/2, -1}(B_z) - E_{-1/2, +1}(B_z)$  может быть немонотонной и даже знакопеременной функцией  $B_z$ . Для сравнения в точках [001] наблюдается расщепление, монотонно возрастающее с увеличением магнитного поля [27,28].

Для определения  $g$ -факторов и обменного расщепления комплекса  $X^0$  используется формула (6): расщепление между линиями с одинаковыми  $\tilde{j}$  и разными  $s_z$  позволяет извлечь  $g$ -фактор электрона, в то время как остальные три параметра ( $g_h$ ,  $g_{h2}$  и  $\delta_0$ ) извлекаются из подгонки расщепления между парой линий с разными  $\tilde{j}$  и одинаковыми  $s_z$  как функции магнитного поля. В качестве конкретного примера рассмотрим экспериментально определенные энергии оптических переходов, наблюдаемых в ФЛ точки QD6 (рис. 5). Пунктирными стрелками на верхней панели рисунка показано антипересечение светлых и темных состояний экситона  $X^0$ , воспроизвести которое в теоретическом расчете возможно только при наличии ненулевого параметра  $g_{h2}$ . Если положить  $g_{h2}$  равным нулю, то состояния в этой точке будут вырожденными (сплошная линия на рисунке). Магнитное поле в точке вырождения  $B_z^0 = \delta_0 / (g_{h1} \mu_B)$ . Включение смешивания тяжелых дырок приводит к расщеплению, которое в точке  $B_z^0$  равно в точности  $|g_{h2} \mu_B B_z^0|$ . При этом сравнительно небольшое значение  $g_{h2}$  приводит к немонотонному поведению расщепления светлого экситона, которое падает до  $-150 \mu\text{eV}$  при 6.5 Т и возрастает до  $-100 \mu\text{eV}$  при 9 Т, см. рис. 5, б. Подгонка позволяет извлечь  $g_e = 0.49$ ,  $g_{h2} = 0.42$ ,  $g_h = 1.16$  и  $\delta_0 = 422 \mu\text{eV}$  для этой точки. Соответствующее значение диагонального  $g$ -фактора  $g_{h1} = 1.05$ , для определения его знака также, как и в случае трионов, можно использовать анализ взаимного расположения линий в спектре ФЛ,

Величины  $g$ -факторов заряженных и нейтральных комплексов, полученные с помощью подгонки экспериментальных данных (ошибка подгонки  $\leq 10\%$ ). Данные работы [23].

Геометрия	QD1		QD5	
	Фарадей	Фойхт	Фарадей	Фойхт
$X^-$ : $g_e$	0.48	0.80	0.49	0.73
$g_h$	0.79	0	0.83	0.07
$ g_{h2} $	0.57	—	0.53	—
$X^+$ : $g_e$	0.47	0.84	0.47	0.79
$g_h$	0.72	0.03	0.71	0.07
$ g_{h2} $	0.7	—	0.62	—
$X^0$ : $ g_e $	0.47	0.80	0.47	0.77
$g_h$	0.72	0	0.71	0.07
$ g_{h2} $	0.59	—	0.5	—

см. рис. 4, *c*. Отклонение теоретической кривой на рис. 5, *b* в области минимума может быть связано с маленьким, но все же ненулевым значением  $\delta_1 \approx 10 \mu\text{eV}$ , которое не было учтено в теоретическом расчете.

Обработка экспериментальных данных по излучению трионов и нейтрального экситона позволяет извлечь параметры  $g_e$ ,  $g_h$  и  $|g_{h2}|$ , см. таблицу, для каждого комплекса [23]. Во всех изученных квантовых точках  $g_{h2} \neq 0$ , причем величины  $g$ -факторов меняются от точки к точке и отличаются для разных комплексов — последнее свидетельствует о роли прямого кулоновского взаимодействия.

В завершение этого раздела отметим, что весь набор экспериментальных данных в геометрии Фарадея, полученный в результате измерений нескольких десятков квантовых точек, как для нейтральных, так и для заряженных комплексов хорошо описывается простой теоретической моделью, в которой учитываются только линейные по магнитному полю вклады, описываемые двумя  $g$ -факторами  $g_{h1}$  и  $g_{h2}$ . Таким образом, введение всего одного дополнительного параметра  $g_{h2}$  позволяет описать все особенности экситонных переходов в квантовых точках [111] в сравнении с традиционными точками [001]. Нужно отметить при этом, что в эксперименте часто наблюдаются значения  $|g_{h2}| > |g_{h1}|$ , что говорит о значительности эффекта смешивания тяжелых дырок. В следующем разделе представлена микроскопическая теория этого смешивания в квантовых точках тригональной симметрии.

#### 4. Микроскопическая модель

Два механизма смешивания тяжелых дырок в квантовых точках [111] обсуждались в работе [10]. Первый из них заключается в том, что кубический по угловому моменту  $\mathbf{J}$  вклад в зеемановский гамильтониан объемной дырки (см., например, [31]) при повороте к собственным осям, связанным с направлением [111], дает слагаемые типа  $B_z(J_x^3 - 3\{J_x J_y^2\}_s)$ , которые приводят к смешиванию тяжелых дырок. Такое смешивание, пропорциональное зонному параметру  $q$ , имеет место и для объемной дырки в случае, когда магнитное поле направлено вдоль оси [111] (аналогичный эффект для экситона, связанного на нейтральном доноре в германии, изучался в работе [32]). В этом механизме  $g_{h2} = 2\sqrt{2}q$ , однако объемное значение  $q$  слишком мало, чтобы объяснить величину наблюдаемого эффекта ( $q \approx 0.02$  в GaAs [30]). Второй возможный механизм смешивания тяжелых дырок, предложенный в [10], связан с кубическим по волновому вектору спин-зависимым членом  $\mathcal{H}_v^{(3)}$  в гамильтониане валентной зоны  $\Gamma_{8v}$  (см. [33]). Оценки, выполненные в рамках модели, предложенной в [10], дают  $|g_{h2}| \sim 0.1$  для реалистичных параметров структуры, что также недостаточно для описания экспериментальных данных. Отметим, что оба перечисленных выше вклада пропорциональны параметрам  $q$  и  $\delta_{\nu}$ , которые можно получить только в рамках многозонных моделей. Интерфейсное

смешивание тяжелой и легкой дырки, играющее важную роль в тонкой структуре экситонных уровней в низкоразмерных структурах, выращенных вдоль [001] [34–36], в структурах, описываемых симметрией  $C_{3v}$ , запрещено, что исключает из рассмотрения и этот потенциально возможный механизм.

Ниже будет показано, что существенный вклад в  $g_{h2}$  можно получить в рамках гамильтониана Латтинжера, учитывая специфическую форму исследуемых квантовых точек в виде правильных треугольных пирамид [23].

4.1. Квантование движения дырки в квантовой точке формы треугольной пирамиды. Состояния тяжелой дырки в квантовой точке описываются при помощи гамильтониана Латтинжера,  $\mathcal{H}_{\Gamma_8}$  [33] (здесь и далее, за исключением раздела 5, мы будем использовать сферическое приближение,  $\gamma_2 = \gamma_3 \equiv \gamma$ ), и оператора потенциальной энергии дырки  $\mathcal{V}(\mathbf{r})$ , который записывается в следующем матричном виде

$$\mathcal{V}(\mathbf{r}) = \begin{pmatrix} V_{hh}(\mathbf{r}) & 0 & 0 & 0 \\ 0 & V_{lh}(\mathbf{r}) & 0 & 0 \\ 0 & 0 & V_{lh}(\mathbf{r}) & 0 \\ 0 & 0 & 0 & V_{hh}(\mathbf{r}) \end{pmatrix},$$

с различными энергиями тяжелой ( $V_{hh}$ ) и легкой ( $V_{lh}$ ) дырки. В самоорганизующихся квантовых точках размерное квантование вдоль оси роста  $z$  существенно сильнее, чем в плоскости точки, что позволяет отделить движение дырки вдоль оси  $z$  от движения в плоскости точки  $(x, y)$ . Представим потенциал, действующий на дырку, в следующем сепарабельном виде [37,38]

$$V_n(\mathbf{r}) = V_z^n(z) + V_{\parallel}^n(\rho, \varphi), \quad (7)$$

где для удобства используется цилиндрическая система координат с осью цилиндра  $z$  и полярными координатами в плоскости  $\rho = \sqrt{x^2 + y^2}$  и  $\varphi$  (угол  $\varphi$  отсчитывается от  $x \parallel [11\bar{2}]$ ). Собственные состояния и энергии являются решениями стационарного уравнения Шредингера

$$[\mathcal{H}_{\Gamma_8} + \mathcal{V}(\mathbf{r})]\hat{\Psi}(\mathbf{r}) = E\hat{\Psi}(\mathbf{r}),$$

где  $\hat{\Psi}(\mathbf{r})$  — столбец, сформированный из четырех огибающих  $\Psi_m(\mathbf{r})$  с  $m = -3/2, -1/2, 1/2, 3/2$ .

В нулевом приближении недиагональными компонентами  $\mathcal{H}_{\Gamma_8}$  можно пренебречь, что приводит к независимому квантованию тяжелой и легкой дырки вдоль оси роста. При этом четырехкомпонентный столбец  $\hat{\Psi}$  имеет только одну ненулевую компоненту  $\Psi_m^n$  с  $m = \pm 3/2$  при  $n = hh$  и  $m = \pm 1/2$  при  $n = lh$  [39]. Сепарабельная форма потенциала (7) позволяет разделить переменные в огибающих  $\Psi_m^n(\mathbf{r})$  [37,38]:

$$\Psi_{m;l,p}^n(\mathbf{r}) = F_l^n(z)\psi_p^n(\rho, \varphi). \quad (8)$$

Здесь  $F_l^n(z)$  описывает размерное квантование дырки вдоль оси роста (индекс  $l = 1, 2, \dots$  нумерует уровни квантования вдоль этой оси), а  $\psi_p^n(\rho, \varphi)$  описывает

квантование в плоскости точки (индекс  $p = 1, 2, \dots$  нумерует состояния в плоскости). Волновые функции  $F_l^n$  и  $\psi_p^n$  определяются из решений уравнений метода эффективной массы для легких и тяжелых дырок.

Конкретный вид потенциала (7) должен учитывать то, что рассматриваемые квантовые точки имеют форму треугольных пирамид, характеризующихся симметрией вращения третьего порядка в плоскости  $(xy)$ , а также отсутствием симметрии к отражению  $z \rightarrow -z$ . В качестве простейшего потенциала, моделирующего асимметрию вдоль оси  $z$ , мы выбираем потенциал „треугольной“ ямы

$$V_z^n(z) = \begin{cases} |e|\mathcal{F}z, & z > 0 \\ +\infty, & z < 0 \end{cases}, \quad (9)$$

где  $z = 0$  — координата основания квантовой точки,  $\mathcal{F}$  — эффективное электрическое поле, нарушающее симметрию  $z \rightarrow -z$  и локализирующее дырку вдоль оси  $z$ . Огибающие вдоль оси  $z$  выражаются через функции Эйри

$$F_l^n(z) = C_l^n \text{Ai}(Z_l^n), \quad (10)$$

где  $C_l^n$  — нормировочная постоянная,

$$Z_l^n = \frac{z}{L_n} - \mu_l, \quad L_n = \left( \frac{\hbar^2}{2m_{n,z}e\mathcal{F}} \right)^{1/3},$$

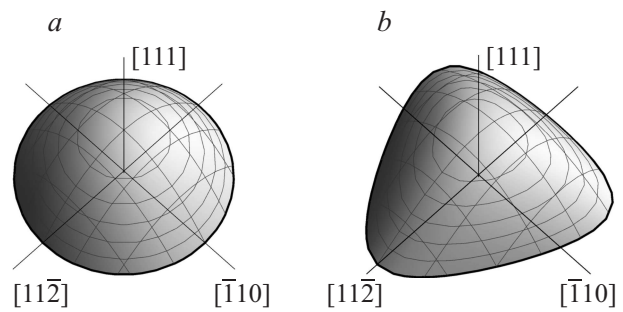
$\mu_l$  —  $l$ -ый корень уравнения  $\text{Ai}(-Z) = 0$ ,  $m_{n,z} = m_0/(\gamma_1 \pm 2\bar{\gamma})$  — эффективная масса при движении дырки вдоль оси  $z$ , при этом верхний и нижний знаки выбираются для  $n = lh$  и  $n = hh$  соответственно.

В качестве потенциала в плоскости мы выбираем аналитическую функцию  $\rho$ , состоящую из основного параболического вклада [40–42], а также кубической по  $\rho$  поправки, описывающей тригональное искажение

$$V_{||}^n(\rho, \varphi) = \frac{\hbar^2 \rho^2}{2m_{n,||} a_n^4} \left( 1 + \beta \frac{\rho}{a_n} \cos 3\varphi \right). \quad (11)$$

Здесь  $m_{n,||} = m_0/(\gamma_1 \pm \bar{\gamma})$  — эффективные массы тяжелой (знак +) и легкой (знак –) дырок при движении в плоскости основания квантовой точки,  $a_n$  — эффективные радиусы локализации, и безразмерный параметр  $\beta$  описывает степень тригональности потенциала. Отметим, что при расчете эффективных масс  $m_{n,||}$  мы для простоты пренебрегаем вкладом, индуцированным смешиванием состояний тяжелой и легкой дырки недиагональными элементами гамильтониана Латтинжера. Изоэнергетические поверхности потенциала квантовой точки (7), (9), (11) приведены на рис. 6. На рисунке отчетливо виден переход от аксиальной ( $\beta = 0$ ) к тригональной ( $\beta = -0.35$ ) симметрии.

Для параметров GaAs  $\gamma_1 = 6.98$  и  $\bar{\gamma} = 2.58$  имеем  $m_{hh,z} = 0.55m_0$ ,  $m_{lh,z} = 0.08m_0$ ,  $m_{hh,||} = 0.1m_0$  и  $m_{lh,||} = 0.22m_0$ . Энергии размерного квантования дырки в приближении сепарабельного потенциала представляют собой сумму энергий размерного квантования вдоль



**Рис. 6.** Изоэнергетические поверхности потенциала квантовой точки для двух значений параметра тригональности  $\beta = 0$  (a) и  $\beta = -0.35$  (b). Из работы [23].

оси  $z$  и в плоскости  $(xy)$ :  $E_{lp}^n = \varepsilon_l^n + E_{||,p}^n$ . Первый вклад записывается в виде

$$\varepsilon_l^n = \frac{\hbar^2 \mu_l}{2m_{n,z} L_n^2}. \quad (12)$$

Удобно ввести эффективный размер точки вдоль оси  $z$  как  $L = \sqrt{L_{hh}L_{lh}}$ . При  $L = 30 \text{ \AA}$  значения энергий основных состояний тяжелой и легкой дырок равны соответственно  $\varepsilon_1^{hh} \approx 33 \text{ meV}$  и  $\varepsilon_1^{lh} \approx 63 \text{ meV}$ . При  $\beta = 0$  уровни квантования в плоскости  $E_{||,p}^n$  формируют эквидистантный набор с расстоянием между двумя соседними уровнями

$$\hbar\omega_n = \frac{\hbar^2}{m_{n,||} a_n^2}, \quad (13)$$

а собственные состояния совпадают с собственными состояниями двумерного изотропного гармонического осциллятора. В дальнейшем будем считать, что потенциал в плоскости одинаков для тяжелой и легкой дырок. Из этого предположения следует, что  $m_{hh,||} a_{hh}^4 = m_{lh,||} a_{lh}^4$ , при этом отношение радиусов локализации для параметров GaAs  $a_{hh}/a_{lh} \approx 1.21$ . Выбрав  $75 \text{ \AA}$  в качестве разумного значения для  $a_{hh}$ , получим  $\hbar\omega_{hh} \approx 6.5 \text{ meV}$  и  $\hbar\omega_{lh} \approx 4.4 \text{ meV}$ . Отметим, что эти значения малы по сравнению с разницей  $\varepsilon_1^{lh} - \varepsilon_1^{hh} \approx 30 \text{ meV}$  энергий квантования вдоль оси  $z$ .

**4.2. Магнитоиндуцированное смешивание тяжелых дырок.** Как уже упоминалось, в нашей модели смешивания тяжелых дырок ключевую роль играет пирамидальная форма квантовой точки. Тригональная дисторсия параболического потенциала в плоскости, описываемая слагаемым  $\propto \beta \rho^3 \cos 3\varphi$  в (11), приводит к понижению симметрии основного состояния тяжелой дырки. Волновая функция в пределе  $|\beta| \ll 1$  имеет тригональную поправку и записывается в виде

$$\tilde{\psi}_1^{hh} \propto \exp\left(-\frac{\rho^2}{2a^2}\right) \left[ 1 + \beta \cos 3\varphi C(\rho) \frac{\rho^3}{a^3} \right], \quad (14)$$

где функция  $C(\rho)$  ограничена при  $\rho = 0$ , и приведены только линейные по  $\beta$  члены. Вариационный расчет с постоянной  $C(\rho) \equiv C_0$  дает для  $C_0$  значение  $-1/6$ .



Магнитоиндуцированное смешивание состояний  $3/2$  и  $-3/2$  возникает в рамках второго порядка теории возмущений по недиагональным элементам гамильтониана Латтинжера  $\mathcal{H}_{\Gamma_8}$

$$\mathcal{H}_{B,3/2,-3/2} \equiv \frac{1}{2} g_{h2} \mu_B B_z$$

$$= \sum_{lp\pm} \frac{\langle \Psi_{3/2;11}^{hh} | \hat{\mathcal{H}}_{\Gamma_8} | \Psi_{\pm 1/2;lp}^{lh} \rangle \langle \Psi_{\pm 1/2;lp}^{lh} | \hat{\mathcal{H}}_{\Gamma_8} | \Psi_{-3/2;11}^{hh} \rangle}{\varepsilon_1^{hh} + E_{\parallel,1}^{hh} - \varepsilon_l^{lh} - E_{\parallel,p}^{lh}}. \quad (15)$$

Здесь суммирование проводится по всем состояниям легкой дырки с индексами  $l$  и  $p$ . С использованием явного вида огибающих (8) выражение (15) может быть приведено к следующему виду

$$g_{h2} = \frac{12\hbar^2 \bar{\gamma}^2}{m_0 L} \sum_{lp} \frac{\eta_l \xi_l}{\varepsilon_1^{hh} + E_{\parallel,1}^{hh} - \varepsilon_l^{lh} - E_{\parallel,p}^{lh}}$$

$$\times \left( \frac{1}{2} \langle \tilde{\psi}_1^{hh} | k_-^2 | \psi_p^{lh} \rangle \langle \psi_p^{lh} | r_- | \tilde{\psi}_1^{hh} \rangle \right.$$

$$\left. + \langle \tilde{\psi}_1^{hh} | k_- | \psi_p^{lh} \rangle \langle \psi_p^{lh} | \{k_- r_-\} | \tilde{\psi}_1^{hh} \rangle \right), \quad (16)$$

где введены безразмерные параметры

$$\eta_l = L \int F_1^{hh}(z) \frac{\partial}{\partial z} F_l^{lh}(z) dz, \quad (17a)$$

$$\xi_l = \int F_1^{hh}(z) F_l^{lh}(z) dz. \quad (17b)$$

В пределе изотропной точки ( $\beta = 0$ ) произведения матричных элементов в скобках в правой части (16) равны нулю для любого значения индекса  $p$ , и следовательно,  $g_{h2} = 0$ . Это следует из того, что два матричных элемента из пары не могут быть отличны от нуля одновременно. Учет тригональности приводит к появлению третьей гармоники ( $\propto \cos 3\varphi$ ) в основном состоянии тяжелой дырки  $\tilde{\psi}_1^{hh}$  и, как следствие, сумма в круглых скобках отлична от нуля для состояний легкой дырки, содержащих первую и вторую угловые гармоники (индекс  $p = 2$  и  $p = 3$ ).

Выражение (16) можно упростить в пределе  $L/a \ll 1$ , воспользовавшись полнотой набора  $\psi_p^{lh}$ . С точностью до членов, линейных по  $L/a$ , суммирование по индексу  $p$  выполняется аналитически:

$$g_{h2} = - \frac{18\hbar^2 \bar{\gamma}^2}{m_0 L} \left\langle \tilde{\psi}_1^{hh} \left| (x - iy) \left( \frac{\partial}{\partial x} - i \frac{\partial}{\partial y} \right)^2 \right| \tilde{\psi}_1^{hh} \right\rangle$$

$$\times \sum_l \frac{\eta_l \xi_l}{\varepsilon_1^{hh} - \varepsilon_l^{lh}}. \quad (18)$$

Оператор в правой части при действии на функцию заданного углового момента меняет его значение на 3,

поэтому его матричный элемент между функциями  $\tilde{\psi}_1^{hh}$  не равен нулю. Из формулы (18) видно, что  $g_{h2}$  отличен от нуля только при одновременном выполнении двух условий: (i) основание точки имеет треугольную форму, т.е.  $\beta \neq 0$ , иначе интегрирование в плоскости дает ноль, и (ii) точка асимметрична в направлении оси  $z$ , иначе произведение  $\eta_l \xi_l$  равно нулю в силу соображений четности.

Значение матричного элемента (18) для огибающей (14) равно  $6C_0\beta/a$ . Подставляя  $C_0 = -1/6$  и энергии квантования вдоль  $z$ , получим окончательно

$$g_{h2} = 36\beta \bar{\gamma}^2 \frac{\sqrt{m_{hh,z} m_{lh,z}^2}}{m_0} \frac{L}{a}$$

$$\times \sum_l \frac{\eta_l \xi_l}{\mu_l \sqrt{m_{lh,z}/m_{hh,z}} - \mu_l}. \quad (19)$$

Численное суммирование в (19) для параметров GaAs дает <sup>2</sup>

$$g_{h2} \approx -7.8\beta \frac{L}{a}. \quad (20)$$

Здесь мы пренебрегли малым вкладом  $2\sqrt{2}q$ . Разумные значения  $\beta = -0.2$ ,  $L/a = 0.3$  дают  $g_{h2} \approx 0.5$ , в хорошем согласии с экспериментом (см. таблицу).

4.3. Диагональная компонента тензора  $g$ -фактора. Размерное квантование и магнитоиндуцированное смешивание тяжелой и легкой дырок приводит также к перенормировке  $\Delta g_{h1}$  диагональной компоненты  $g$ -фактора  $g_{h1}$  по сравнению со своим объемным значением  $-6\chi$  (ср., например, с [43])

$$\Delta g_{h1} = \frac{2}{\mu_B B_z}$$

$$\times \sum_{lp\pm} \frac{\langle \Psi_{3/2;11}^{hh} | \hat{\mathcal{H}}_{\Gamma_8} | \Psi_{\pm 1/2;lp}^{lh} \rangle \langle \Psi_{\pm 1/2;lp}^{lh} | \hat{\mathcal{H}}_{\Gamma_8} | \Psi_{3/2;11}^{hh} \rangle}{\varepsilon_1^{hh} + E_{\parallel,1}^{hh} - \varepsilon_l^{lh} - E_{\parallel,p}^{lh}}. \quad (21)$$

Преобразования, аналогичные проделанным в разделе 4, приводят в пределе  $L/a \ll 1$  к следующей компактной форме для  $\Delta g_{h1}$

$$\Delta g_{h1} = -6i \sum_l \frac{\varepsilon_0}{\varepsilon_1^{hh} - \varepsilon_l^{lh}} \left( \eta_l^2 \langle \psi_1^{hh} | k_- r_+ - r_- k_+ | \psi_1^{hh} \rangle \right.$$

$$\left. + \frac{L^2}{2} \xi_l^2 \langle \psi_1^{hh} | k_-^2 \{k_+ r_+\} - \{k_- r_-\} k_+^2 | \psi_1^{hh} \rangle \right), \quad (22)$$

где  $\varepsilon_0 = \hbar^2 \bar{\gamma}^2 / (m_0 L^2)$  и

$$\xi_l^2 = \xi_l^2 - \frac{2\eta_l^2}{\mu_l \sqrt{m_{lh,\parallel} m_{hh,\parallel}} / m_{lh,z} - \mu_l m_{hh,\parallel} / m_{hh,z}}.$$

<sup>2</sup> В формулах (20) и (24) исправлены опечатки в численных коэффициентах, допущенные в аналогичных формулах работы [23].

С учетом коммутационных соотношений окончательное выражение для  $\Delta g_{h1}$  принимает вид

$$\begin{aligned} \Delta g_{h1} &= -12 \sum_l \frac{\varepsilon_0}{\varepsilon_1^{hh} - \varepsilon_l^{lh}} \left( \eta_l^2 + \xi_l^2 \frac{L^2}{a^2} \right) \\ &= 24\bar{\gamma}^2 \frac{\sqrt[3]{m_{hh,z} m_{lh,z}^2}}{m_0} \sum_l \frac{\eta_l^2 + \xi_l^2 (L^2/a^2)}{\mu_l - \mu_1 \sqrt[3]{m_{lh,z}/m_{hh,z}}}. \end{aligned} \quad (23)$$

Выполняя численное суммирование в (23) по индексу  $l$  и подставляя значения параметров  $\gamma_1$ ,  $\bar{\gamma}$ ,  $m_{hh,\parallel}$  и  $m_{lh,\parallel}$  для GaAs, получим

$$g_{h1} \approx -6\kappa + 4.5 + 15.1 \frac{L^2}{a^2}. \quad (24)$$

Приведенный выше расчет  $g_{h1}$  выполнен при  $\beta = 0$ . Отметим, что вследствие симметричных соображений поправка к  $g_{h1}$ , учитывающая тригональное искажение точки, квадратична по параметру  $\beta$ . Действительно, при повороте точки вокруг оси  $z$  на угол  $\pi$  параметр  $\beta$  меняет знак, в то время как  $g_{h1}$  очевидно не меняется. Как следует из дальнейших расчетов, разумные значения параметра  $\beta$  лежат в области 0.2–0.25, поэтому поправкой  $\propto \beta^2$  можно пренебречь.

## 5. Выход за рамки сферического приближения

В представленной выше теории использовалось сферическое приближение, а общая симметрия задачи  $C_{3v}$  связывалась только с характерной тригональной формой исследуемых точек. Однако симметрия  $C_{3v}$  присуща кристаллографическому направлению [111] даже в отсутствие квантующего потенциала, ограничивающего движение дырки в плоскости, и, следовательно, смешивание тяжелых дырок имеет место не только в квантовых точках, но и в квантовых ямах. Помимо малых кубических вкладов в эффект Зеемана, описываемых параметром  $q$ , а также вкладов от кубических по  $k$  членов, дополнительный вклад в недиагональный  $g$ -фактор  $g_{h2}$  в структурах с квантовыми ямами возникает за счет поправки к гамильтониану Латтинжера

$$\delta\mathcal{H} = \frac{\hbar^2}{m_0} \delta\gamma \sum_i J_i^2 k_i^2, \quad (25)$$

где  $\delta\gamma = \gamma_2 - \gamma_3$ . Эта поправка обусловлена различием между кубической и изотропной симметриями. После преобразования системы координат из кристаллографического базиса [100], [010], [001] в связанный с точкой

базис  $x, y, z$  получим

$$\begin{aligned} \delta\mathcal{H} &= \frac{\hbar^2}{m_0} \delta\gamma \left\{ \frac{1}{3} k^2 (J_x^2 + J_y^2 + J_z^2) \right. \\ &+ \frac{1}{6} \left[ (k_x^2 - k_y^2 - 2\sqrt{2}k_x k_z) (J_x^2 - J_y^2 - 2\sqrt{2}\{J_x, J_z\}_s) \right. \\ &\left. \left. + (2k_x k_y + 2\sqrt{2}k_y k_z) (2\{J_x, J_y\}_s + 2\sqrt{2}\{J_y, J_z\}_s) \right] \right\}. \end{aligned} \quad (26)$$

Первый член в (26) содержит диагональные компоненты, которые приводят к модификации элементов  $G$  и  $F$  гамильтониана Латтинжера в сферическом приближении, в частности к изменению эффективных масс тяжелой и легкой дырок вдоль оси роста [ $m_{lh(hh),z}^{[111]} = 1/(\gamma_1 \pm 2\gamma_3)$ ]. Второй член дает поправки  $\propto \delta\gamma$  к недиагональным элементам  $H$  и  $I$  гамильтониана. В случае  $\delta\gamma \ll \bar{\gamma}$ , характерном для большинства полупроводников с решеткой цинковой обманки [44], элементы  $H$  и  $I$  с учетом кубических поправок записываются в виде

$$\begin{aligned} H' &= \sqrt{3} \frac{\hbar^2 \bar{\gamma}}{m_0} k_z k_- - \frac{\sqrt{6}}{6} \frac{\hbar^2 \delta\gamma}{m_0} k_+^2, \\ I' &= \frac{\sqrt{3}}{2} \frac{\hbar^2 \bar{\gamma}}{m_0} k_-^2 - \frac{\sqrt{6}}{3} \frac{\hbar^2 \delta\gamma}{m_0} k_z k_+. \end{aligned} \quad (27)$$

Вклад в  $g_{h2}$ , имеющий место в квантовых ямах, обусловлен слагаемыми  $\propto k_z$  в  $H'$  и  $I'$  и равен

$$\Delta g_{h2}^{(0)} = 8\sqrt{2} \frac{\hbar^2}{m_0} \bar{\gamma} \delta\gamma \sum_l \frac{\eta_l^2}{L^2 (\varepsilon_1^{hh} - \varepsilon_l^{lh})}. \quad (28)$$

Оценка для симметричной ямы GaAs с бесконечными барьерами дает  $\Delta g_{h2}^{(0)} = -0.94\delta\gamma$ , для треугольной ямы  $\Delta g_{h2}^{(0)} = -1.66\delta\gamma$ .

Учет вкладов в (27), пропорциональных вторым степеням операторов  $k_{\pm}$ , а также разложение энергетического знаменателя для вкладов  $\propto k_z$  дают вклад в  $g_{h2}$ , пропорциональный  $(L/a)^2$ :

$$\Delta g_{h2}^{(2)} = -8\sqrt{2} \frac{\hbar^2}{m_0} \bar{\gamma} \delta\gamma \frac{L^2}{a^2} \sum_l \frac{\xi_l^2}{L^2 (\varepsilon_1^{hh} - \varepsilon_l^{lh})}. \quad (29)$$

Отметим, что в отличие от выражения (19) для  $g_{h2}$  в тригональных точках вклад (29) отличен от нуля в точках с изотропным основанием, имеющих форму конуса и диска. Оценка для симметричного потенциала с бесконечными барьерами вдоль оси роста точки (модель диска) дает  $\Delta g_{h2}^{(2)} = 0.46\delta\gamma (L/a)^2$ , для треугольного потенциала (модель конуса) имеем  $\Delta g_{h2}^{(2)} = 5.5\delta\gamma (L/a)^2$ .

Последняя поправка возникает при учете в (27) произведений, пропорциональных  $(\delta\gamma)^2$ . Такой вклад существует только в тригональной точке и имеет вид

$$\Delta g_{h2}^{(1)} = 4 \frac{\hbar^2}{m_0} (\delta\gamma)^2 \beta \frac{L}{a} \sum_l \frac{\eta_l \xi_l}{L^2 (\varepsilon_1^{hh} - \varepsilon_l^{lh})}. \quad (30)$$

Численный расчет дает  $\Delta g_{h2}^{(1)} \approx -0.26(\delta\gamma)^2\beta L/a$ . Таким образом, окончательно для недиагонального  $g$ -фактора в точках формы диска и симметричных квантовых ямах [111] имеем

$$g_{h2}^{(S)} = -0.94\delta\gamma + 0.46\delta\gamma \left(\frac{L}{a}\right)^2, \quad (31)$$

в то время как в пирамидальных точках и асимметричных ямах [111]

$$g_{h2}^{(A)} = -1.66\delta\gamma - \left[7.8 + 0.26(\delta\gamma)^2\right]\beta \frac{L}{a} + 5.5\delta\gamma \left(\frac{L}{a}\right)^2. \quad (32)$$

## 6. Обсуждение полученных результатов и сравнение с экспериментальными данными

На рис. 7, *a* приведены рассчитанные по формулам (20) и (24) в рамках сферического приближения зависимости  $g$ -факторов  $g_{h1}$  и  $g_{h2}$  от отношения  $L/a$ . Значения  $|g_{h2}|$  изменяются в диапазоне 0.2–0.7 для разумных значений отношения  $L/a \lesssim 0.5$  и  $|\beta| < 0.3$ , при которых профиль волновой функции (14) выпуклый, и форма потенциала аналогична наблюдаемой в экспериментах по атомно-силовой микроскопии [9]. Полученные значения  $|g_{h2}|$  находятся в хорошем согласии с экспериментальными наблюдениями (см. таблицу). Отметим, что при  $\beta \gtrsim 0.3$  у функции  $\tilde{\psi}_1^{hh}$  появляются нефизические нули. Систематическое отличие между недиагональными  $g$ -факторами  $g_{h2}$  в трионах  $X^+$  и  $X^-$ , см. таблицу, указывает на заметную роль кулоновского взаимодействия. Действительно, значение  $g_{h2}$ , определенное из спектра

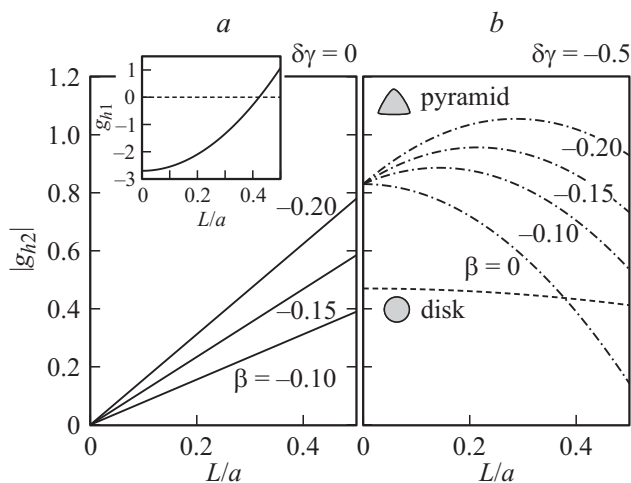
ФЛ  $X^+$ -триона, соответствует  $g$ -фактору резидентной дырки, в то время как значение  $g_{h2}$ , найденное из спектра  $X^-$ , соответствует  $g$ -фактору дырки в трионе. Результаты расчетов константы смешивания  $g_{h2}$  вне рамок сферического приближения для значения параметра  $\delta\gamma = -0.5$  приведены на рис. 7, *b*.

На вставке к рис. 7, *a* показаны результаты расчетов диагональной компоненты тензора  $g$ -фактора тяжелой дырки  $g_{h1}$ . Перенормировка диагонального  $g$ -фактора  $\Delta g_{h1}$  по сравнению с его объемным значением  $-6\chi \approx -7.2$  составляет порядка 6 для  $L/a = 0.3$ . Расчет предсказывает смену знака  $g_{h1}$  при  $L/a \approx 0.4$  для используемых параметров GaAs. Как отмечалось выше, положение линий в спектрах ФЛ свидетельствует о положительных значениях  $g_{h1} \sim 0.5$ , наблюдаемых в эксперименте, что соответствует перенормировке  $\Delta g_{h1}^{(\text{exp})} \sim 8$ . Таким образом, отличие теоретической и экспериментальной перенормировок не превышает 25% для  $L/a \sim 0.3-0.4$ , что с учетом чувствительности точки обращения  $g_{h1}$  в нуль к используемой параметризации можно считать удовлетворительным согласием. Значения  $L/a \sim 0.3-0.4$  неплохо согласуются и с экспериментальными данными по  $g$ -фактору электрона, см. таблицу. Для  $L = 30 \text{ \AA}$  оценка разности энергий квантования легкой и тяжелой дырок вдоль оси  $z$  по формуле (12) дает  $\varepsilon_1^{lh} - \varepsilon_1^{hh} \approx 30 \text{ meV}$ . Эта же разность может быть оценена из анизотропии продольной ( $g_{e,\parallel}$ ) и поперечной ( $g_{e,\perp}$ ) компонент  $g$ -фактора электрона [45] и для экспериментальных значений  $(g_{e,\perp} - g_{e,\parallel})/g_{e,\parallel} \sim 40\%$  лежит в диапазоне 20–30 meV.

## 7. Заключение

В заключение мы продемонстрировали, что продольный эффект Зеемана для тяжелой дырки в квантовых точках, обладающих точечной симметрией  $C_{3v}$ , описывается эффективным тензором  $g$ -факторов, имеющим как диагональную ( $g_{h1}$ ), так и недиагональную ( $g_{h2}$ ) компоненты. Наличие  $g_{h2} \neq 0$  приводит к магнитоиндуцированному смешиванию состояний тяжелой дырки, которое проявляется в двух дополнительных линиях, наблюдаемых в экспериментальных спектрах фотолюминесценции. Представлена микроскопическая теория эффективных  $g$ -факторов  $g_{h1}$  и  $g_{h2}$  в рамках сферического приближения гамильтониана Латтинжера, а также проанализированы вклады в  $g_{h2}$ , связанные с гофрировкой дырочных подзон. Представленная в работе теория позволяет количественно описывать данные экспериментов по ФЛ тригональных точек на основе GaAs.

В качестве дальнейшего направления исследований тонкой структуры электрон-дырочных комплексов в наноструктурах, обладающих симметрией  $C_{3v}$ , можно указать на изучение дырочного эффекта Зеемана в квантовых ямах, выращенных на плоскости (111) из материалов с решеткой цинковой обманки, а также коллоидных квантовых точек на основе материалов с



**Рис. 7.** Недиагональный  $g$ -фактор  $g_{h2}$  как функция  $L/a$ . (*a*) Расчет в сферическом приближении ( $\delta\gamma = 0$ ) для трех различных значений параметра  $\beta$ :  $-0.1$ ,  $-0.15$  и  $-0.2$ . Вставка демонстрирует поведение  $g_{h1}$ . (*b*) Расчеты, выполненные по формулам (31) (штриховая линия) и (32) (штрих-пунктирные линии) при  $\delta\gamma = -0.5$ .

решеткой вюрцита. Представляется также интересным изучение влияния магнитоиндуцированного смешивания тяжелых дырок на тонкую структуру и спектры излучения возбужденных состояний трионов и многократно заряженных экситонов, локализованных в квантовых точках (111).

## Список литературы

- [1] A.K. Nowak, S.L. Portalupi, V. Giesz, O. Gazzano, C. Dal Savio, P.F. Braun, K. Karrai, C. Arnold, L. Lanco, I. Sagnes, A. Lemaitre, P. Senellart. *Nature Commun.* **5** (2014).
- [2] I.J. Luxmoore, N.A. Wasley, A.J. Ramsay, A.C.T. Thijssen, R. Oulton, M. Hugues, S. Kasture, V.G. Achanta, A.M. Fox, M.S. Skolnick. *Phys. Rev. Lett.* **110**, 037402 (2013).
- [3] R.M. Stevenson, R.J. Young, P. Atkinson, K. Cooper, D.A. Ritchie, A.J. Shields. *Nature* **439**, 179 (2006).
- [4] N. Akopian, N.H. Lindner, E. Poem, Y. Berlatzky, J. Avron, D. Gershoni, B.D. Gerardot, P.M. Petroff. *Phys. Rev. Lett.* **96**, 130501 (2006).
- [5] M. Bayer, A. Kuther, A. Forchel, A. Gorbunov, V.B. Timofeev, F. Schäfer, J.P. Reithmaier, T.L. Reinecke, S.N. Walck. *Phys. Rev. Lett.* **82**, 1748 (1999).
- [6] R.M. Stevenson, R.J. Young, P. See, D.G. Gevaux, K. Cooper, P. Atkinson, I. Farrer, D.A. Ritchie, A.J. Shields. *Phys. Rev. B* **73**, 033306 (2006).
- [7] A. Schliwa, M. Winkelnkemper, A. Lochmann, E. Stock, D. Bimberg. *Phys. Rev. B* **80**, 161307 (2009).
- [8] R. Singh, G. Bester. *Phys. Rev. Lett.* **103**, 063601 (2009).
- [9] T. Mano, M. Abbarchi, T. Kuroda, B. McSkimming, A. Ohtake, K. Mitsuishi, K. Sakoda. *Appl. Phys. Express* **3**, 065203 (2010).
- [10] G. Sallen, B. Urbaszek, M.M. Glazov, E.L. Ivchenko, T. Kuroda, T. Mano, S. Kunz, M. Abbarchi, K. Sakoda, D. Lagarde, A. Balocchi, X. Marie, T. Amand. *Phys. Rev. Lett.* **107**, 166604 (2011).
- [11] E. Stock, T. Warming, I. Ostapenko, S. Rodt, A. Schliwa, J.A. Tofflinger, A. Lochmann, A.I. Toropov, S.A. Moshchenko, D.V. Dmitriev, и др. *Appl. Phys. Lett.* **96**, 093112 (2010).
- [12] X. Liu, N. Ha, H. Nakajima, T. Mano, T. Kuroda, B. Urbaszek, H. Kumano, I. Suemune, Y. Sakuma, K. Sakoda. *Phys. Rev. B* **90**, 081301 (2014).
- [13] T. Kuroda, T. Mano, N. Ha, H. Nakajima, H. Kumano, B. Urbaszek, M. Jo, M. Abbarchi, Y. Sakuma, K. Sakoda, I. Suemune, X. Marie, T. Amand. *Phys. Rev. B* **88**, 041306 (2013).
- [14] G. Juska, V. Dimastrodonato, L.O. Mereni, A. Gocalinska, E. Pelucchi. *Nature. Photon* **7**, 527 (2013).
- [15] Y. Arashida, Y. Ogawa, F. Minami. *Phys. Rev. B* **85**, 235318 (2012).
- [16] E. Poem, Y. Kodriano, C. Tradonsky, N.H. Lindner, B.D. Gerardot, P.M. Petroff, D. Gershoni. *Nature. Phys.* **6**, 993 (2010).
- [17] Y. Igarashi, M. Shirane, Y. Ota, M. Nomura, N. Kumagai, S. Ohkouchi, A. Kirihara, S. Ishida, S. Iwamoto, S. Yorozu, Y. Arakawa. *Phys. Rev. B* **81**, 245304 (2010).
- [18] Y. Benny, Y. Kodriano, E. Poem, D. Gershoni, T.A. Truong, P.M. Petroff. *Phys. Rev. B* **86**, 085306 (2012).
- [19] V. Jovanov, S. Kapfinger, M. Bichler, G. Abstreiter, J.J. Finley. *Phys. Rev. B* **84**, 235321 (2011).
- [20] M. Ediger, G. Bester, A. Badolato, P.M. Petroff, K. Karrai, A. Zunger, R.J. Warburton. *Nature. Phys.* **3**, 774 (2007).
- [21] M. Ediger, G. Bester, B. D. Gerardot, A. Badolato, P.M. Petroff, K. Karrai, A. Zunger, R.J. Warburton. *Phys. Rev. Lett.* **98**, 036808 (2007).
- [22] L. Bouet, M. Vidal, T. Mano, N. Ha, T. Kuroda, M.V. Durnev, M.M. Glazov, E.L. Ivchenko, X. Marie, T. Amand, K. Sakoda, G. Wang, B. Urbaszek. *Appl. Phys. Lett.* **105**, 082211 (2014).
- [23] M.V. Durnev, M.M. Glazov, E.L. Ivchenko, M. Jo, T. Mano, T. Kuroda, K. Sakoda, S. Kunz, G. Sallen, L. Bouet, X. Marie, D. Lagarde, T. Amand, B. Urbaszek. *Phys. Rev. B* **87**, 085315 (2013).
- [24] M. Abbarchi, T. Kuroda, T. Mano, K. Sakoda, M. Gurioli. *Phys. Rev. B* **81**, 035334 (2010).
- [25] T. Belhadj, T. Kuroda, C.-M. Simon, T. Amand, T. Mano, K. Sakoda, N. Koguchi, X. Marie, B. Urbaszek. *Phys. Rev. B* **78**, 205325 (2008).
- [26] J.G. Keizer, J. Bocquel, P.M. Koenraad, T. Mano, T. Noda, K. Sakoda. *Appl. Phys. Lett.* **96**, 062101 (2010).
- [27] M. Bayer, G. Ortner, O. Stern, A. Kuther, A.A. Gorbunov, A. Forchel, P. Hawrylak, S. Fafard, K. Hinzer, T.L. Reinecke, S.N. Walck, J.P. Reithmaier, F. Klopff, F. Schaefer. *Phys. Rev. B* **65**, 195315 (2002).
- [28] Y. Léger, L. Besombes, L. Maingault, H. Mariette. *Phys. Rev. B* **76**, 045331 (2007).
- [29] G.F. Koster, R.G. Wheeler, J.O. Dimmock, H. Statz. *Properties of the thirty-two point groups* MIT Press, (1963).
- [30] X. Marie, T. Amand, P. Le Jeune, M. Paillard, P. Renucci, L.E. Golub, V.D. Dymnikov, E.L. Ivchenko. *Phys. Rev. B* **60**, 5811 (1999).
- [31] Г.Л. Бир, Г.Е. Пикус. *Симметрия и деформационные эффекты в полупроводниках*. Наука, Москва (1972).
- [32] Н.С. Аверкиев, В.М. Аснин, Ю.Н. Ломасов, Г.Е. Пикус, А.А. Рогачев, Н.А. Рудь. *ФТТ* **23**, 3117 (1981).
- [33] E.L. Ivchenko, G.E. Pikus. *Superlattices and other heterostructures*. Springer (1997).
- [34] И.Л. Алейнер, Е.Л. Ивченко. *Письма в ЖЭТФ* **55**, 662 (1992).
- [35] O. Krebs, D. Rondi, J.L. Gentner, L. Goldstein, P. Voisin. *Phys. Rev. Lett.* **80**, 5770 (1998).
- [36] G. Bester, A. Zunger. *Phys. Rev. B* **71**, 45318 (2005).
- [37] G. Bastard, E. Mendez, L. Chang, L. Esaki. *Phys. Rev. B* **28**, 3241 (1983).
- [38] A. Wojs, P. Hawrylak, S. Fafard, L. Jacak. *Phys. Rev. B* **54**, 5604 (1996).
- [39] М.А. Семина, Р.А. Сурис. *ФТП* **45**, 947 (2011).
- [40] W. Que. *Phys. Rev. B* **45**, 11036 (1992).
- [41] P. Hawrylak. *Phys. Rev. B* **60**, 5597 (1999).
- [42] М.А. Семина, Р.А. Сергеев, Р.А. Сурис. *ФТП* **40**, 1373 (2006).
- [43] А.А. Киселёв, Л.В. Моисеев. *ФТТ* **38**, 1574 (1996).
- [44] A. Baldereschi, N. Lipari. *Phys. Rev. B* **8**, 2697 (1973).
- [45] E.L. Ivchenko. *Optical spectroscopy of semiconductor nanostructures*. Alpha Science, Harrow UK (2005).